

ИЗОХОРНО-ИЗОТЕРМИЧЕСКИЙ ПОТЕНЦИАЛ АЛМАЗА

А. М. Молодец

Институт химической физики в Черноголовке, 142432 Черноголовка

Разработана новая общая процедура построения изохорно-изотермического потенциала твердого тела в рамках квазигармонического приближения. Данна термодинамическая интерпретация экспериментальных результатов по ударному сжатию монолитного и пористого алмаза.

ВВЕДЕНИЕ

В [1, 2] была предложена зависимость коэффициента Грюнайзена Γ от удельного объема v . В [3] сконструирована температурная поправка к этой зависимости. На основе полученной таким образом объемно-температурной зависимости коэффициента Грюнайзена $\Gamma(v, T)$ в [4] показана возможность построения термического уравнения состояния металлов. Этот подход развит в [5, 6] применительно к построению изохорно-изотермического потенциала твердых тел. В настоящей работе обобщается подход [1–6] и используется для интерпретации термодинамических свойств алмаза.

ТЕОРЕТИЧЕСКАЯ СХЕМА

Итак, зависимость $\Gamma(v)$ из [1] можно записать как

$$\Gamma(v) = \frac{2}{3} - \frac{2}{1 - av_0/v}. \quad (1)$$

Здесь v — удельный объем; $a = 1 + 2/(\gamma_s - 2/3) + 2p_{t,0}/K_s$, где $\gamma_s = \beta K_s v_0/c_v$, β — коэффициент теплового расширения, K_s — адиабатический модуль объемного сжатия, c_v — теплоемкость при постоянном объеме, $p_{t,0}$ — тепловое давление. Все величины, входящие в параметр a , вычислены при заданных начальных условиях — начальном удельном объеме v_0 , начальной температуре T_0 и начальном давлении p_0 .

Хорошо известно, что коэффициент Грюнайзена является функцией не только объема, но и температуры. В связи с этим введем температурную поправку [3, 5] в формулу (1). Следуя [3], воспользуемся известными соотношениями термодинамики между адиабатическим (K_s) и изотермическим (K_t) модулями объемного сжатия и определением термодинамического коэффициента Грюнайзена в точке (v_0, T_0) : $\gamma_t = \beta K_t v_0/c_v$ — и запишем входящее в параметр a выражение для $2p_{t,0}/K_s$ в

виде $2p_{t,0}/K_s = 2\gamma_t E_{t,0}/v_0 K_s = 2\beta E_{t,0}/c_p$, где c_p — теплоемкость при постоянном давлении, $E_{t,0}$ — тепловая энергия в точке (v_0, T_0) . Приведем оценку $E_{t,0}$ [5].

Как известно, величина $E_{t,0}$ определяется интегралом от температурной зависимости $c_v(T)$. Воспользуемся приближенной интерполяцией $c_v(T/\theta_0)$ двумя линейным отрезками: $c_v(T) = 3RnT/(\theta_0/2)$ при $T < \theta_0/2$ и $c_v(T) = 3Rn$ при $T \geq \theta_0/2$, где R — газовая постоянная, n — количество атомов в элементарной ячейке кристалла, θ_0 — характеристическая температура Эйнштейна в точке (v_0, T_0) . Вычислив $E_{t,0}$ с учетом этой интерполяции, запишем параметр a в виде

$$a(T_0) = \begin{cases} 1 + \frac{2}{\gamma_s - 2/3} + 2\beta 3Rn \frac{T_0^2}{c_p \theta_0}, & T_0 < \theta_0/2, \\ 1 + \frac{2}{\gamma_s - 2/3} + 2\beta 3Rn \frac{T_0 - \theta_0/4}{c_p}, & T_0 \geq \theta_0/2. \end{cases}$$

Теперь будем считать величину T_0 переменной, равной текущей температуре T . Но при этом величины β , K_s , c_v , c_p , θ_0 по-прежнему будут константами, вычисляемыми в точке (v_0, T_0) , и лишь для T_0 оставим роль переменной. Тогда параметр $a(T_0)$ становится известной функцией температуры [5]. Введем обозначения

$$a_0 = 1 + 2/(\gamma_s - 2/3), \quad q_0 = 2\beta 3Rn/a_0 c_p.$$

Окончательно запишем

$$a(T) = \begin{cases} a_0(1 + q_0 T^2/\theta_0), & T < \theta_0/2, \\ a_0(1 + q_0(T - \theta_0/4)), & T \geq \theta_0/2. \end{cases} \quad (2)$$

При подстановке (2) в (1) выражение (1) оказывается явной функцией объема и температуры и тем самым задает объемно-температурную зависимость коэффициента Грюнайзена $\Gamma(v, T)$. Располагая этой

зависимостью, сформулируем термодинамическое описание твердого тела [4, 6] в приближении Эйнштейна.

Формула (1), в которой a задано соотношением (2), вместе с общизвестным определением коэффициента Грюнайзена как логарифмической производной характеристической температуры Эйнштейна θ по объему $(\partial \ln \theta / \partial \ln v)_T = -\Gamma$ определяют θ в виде

$$\theta(v, T) = \theta_0 v_0^{-4/3} \left(\frac{a v_0 - v}{a - 1} \right)^2 / v^{2/3}, \quad (3)$$

где $\theta_0 = \theta(v_0, T)$ — константа интегрирования, зависящая только от температуры [4]. Однако в качестве первого приближения будем считать ее числом, равным значению θ в точке (v_0, T_0) , т. е. $\theta_0 = \theta(v_0, T_0)$. Используя (3), запишем изохорно-изотермический потенциал (свободную энергию) твердого тела в приближении Эйнштейна в общепринятом виде:

$$F(v, T) = E_x(v) + 3Rn(\theta/2 + T \ln(1 - \exp(-\theta/T))). \quad (4)$$

Здесь $E_x(v)$ — потенциальная энергия, производная которой по объему определяет потенциальное давление $p_x(v) = -dE_x/dv$.

Введем новую вспомогательную функцию [6]:

$$M(v, T) = -(\partial \ln \theta / \partial \ln T)_v. \quad (5)$$

Тогда, дифференцируя (4) по v или T , для энтропии S , давления p и внутренней энергии E получим

$$S = 3Rn \left[\frac{\theta/T}{\exp(\theta/T) - 1} - \ln \left(1 - \exp \left(\frac{\theta}{T} \right) \right) + \frac{\theta}{T} M \left(\frac{1}{2} + \frac{1}{\exp(\theta/T) - 1} \right) \right], \quad (6)$$

$$p = p_x(v) + \frac{\Gamma}{v} 3Rn\theta \left[\frac{1}{2} + \frac{1}{\exp(\theta/T) - 1} \right], \quad (7)$$

$$E = E_x(v) + \frac{v}{H} (p - p_x(v)), \quad (8)$$

где $H(v, T)$ — обобщение коэффициента пропорциональности между фоновым тепловым давлением и плотностью фоновой тепловой энергии в виде функции Грюнайзена [6]:

$$H(v, T) = \Gamma/(1 + M). \quad (9)$$

Определим потенциальную энергию $E_x(v)$, как это сделано в [1, 2]. Приравняем формулу (1) при $T = 0$ К соотношению Слэттера γ_{SI} :

$$\frac{2}{3} - \frac{2}{1 - 1/x} = \gamma_{SI}(x) = -\frac{2}{3} - \frac{x}{2} \frac{d^2 p_x / dx^2}{dp_x / dx}. \quad (10)$$

После трехкратного интегрирования (10) получим

$$E_x(v) = -a_x v_0 (C_1 H_x(x) + C_2 x) + C_3, \quad (11)$$

где

$$H_x(x) =$$

$$= 9 \left(\frac{1}{10} x^{-2/3} + 2x^{1/3} + \frac{3}{2} x^{4/3} - \frac{1}{7} x^{7/3} + \frac{1}{70} x^{10/3} \right).$$

C_1, C_2, C_3 — константы, характеризующие конкретный материал и подлежащие определению, $x = v/a_x v_0$, a_x — значение параметра a (2) при нулевой абсолютной температуре. Будем рассматривать a_x как подгоночный параметр, первое приближение которого дается формулой (2) при $T = 0$ К:

$$a_x = a(0) = a_0 = 1 + 2/(\gamma_s - 2/3). \quad (12)$$

Для практического применения формул (1)–(12) необходимо найти константы C_1, C_2, C_3 . Это можно сделать следующим образом.

Продифференцировав (11) по объему, найдем

$$p_x(x) = C_1 F_x(x) + C_2, \quad (13)$$

где

$$F_x(x) =$$

$$= 3 \left(-\frac{1}{5} x^{-5/3} + 2x^{-2/3} + 6x^{1/3} - x^{4/3} + \frac{1}{7} x^{7/3} \right).$$

Подставляя (13) в (7) и зафиксировав температуру равной T_0 , получим изотерму

$$p(v, T_0) = C_1 F_x(x) + C_2 + \frac{\Gamma}{v} 3Rn\theta \left[\frac{1}{2} + \frac{1}{\exp(\theta/T_0) - 1} \right]. \quad (14)$$

Дифференцируя (14) по v и используя в точке (v_0, T_0) экспериментальное значение модуля объемного сжатия K_t , найдем

$$C_1 = -a_x \left(K_t + v_0 \left(\frac{\partial p_t}{\partial v} \right)_T \right) / \frac{dF_x}{dx}. \quad (15)$$

Приравнивая (14) начальному давлению p_0 в точке (v_0, T_0) и учитывая (15), получим

$$C_2 = p_0 - C_1 F_x(x_0) - p_{t,0}. \quad (16)$$

В (15), (16) $p_t = p_t(v, T)$ — тепловое давление, определяемое вторым слагаемым в (7), $x_0 = 1/a_x$, $p_{t,0} = p_t(v_0, T_0)$.

Для того чтобы определить константу C_3 , предварительно найдем корень X уравнения $p_x(X) = 0$, которое получается из (13). Далее, примем, что при $v_{0,x} = v_0 a_x X$ потенциальная

энергия $E_x = E_x(v_{0,x})$ имеет нулевое значение. Тогда, подставляя X , C_1 и C_2 в (11), находим

$$C_3 = v_0 a_x (C_1 H_x(X) + C_2 X). \quad (17)$$

При необходимости изменить уровень отсчета потенциальной энергии условимся прибавлять в правую часть (11) соответствующее постоянное слагаемое E_m . Таким образом, выражение (4) приобретает вид

$$F(v, T) = -a_x v_0 (C_1 H_x(x) + C_2 x) + C_3 + E_m + \\ + 3 R n \left(\frac{1}{2} \theta + T \ln \left(1 - \exp \left(-\frac{\theta}{T} \right) \right) \right). \quad (18)$$

Итак, формулы (1)–(18) определяют полуэмпирическое описание термодинамических свойств твердого тела, опирающееся на экспериментально определяемые в точке (v_0, T_0) параметры v_0 , β , K_t , c_p , θ_0 (значения K_s и c_v находятся с помощью известных термодинамических соотношений) и подгоночный параметр a_x .

Что же касается полного описания термодинамики фоновой части ударного сжатия монолитного твердого тела плоской одномерной волной, то оно сводится к добавлению соотношения Рэнкина — Гюгонио

$$E - E_0 = \frac{1}{2} (p + p_0)(v_0 - v) \quad (19)$$

к формулам (1)–(18), что позволяет рассчитать температуру и все термодинамические свойства вдоль ударной адиабаты. При этом сильное ударное сжатие пористого материала рассчитывается аналогично с той лишь разницей, что в качестве удельного объема монолитного материала перед фронтом ударной волны (v_0) следует использовать удельный объем пористого образца — $v_{00} = m v_0$ (m — пористость), а в величине удельной внутренней энергии E_0 перед фронтом ударной волны при необходимости нужно учесть удельную поверхностную энергию образца.

ОБЛАСТЬ ПРИМЕНЕНИЯ СХЕМЫ РАСЧЕТА

Прежде чем перейти к иллюстрации работоспособности предложенного описания, рассмотрим области практического применения формул (1)–(18).

Во-первых, заметим, что если значения величин v_0 , β , K_t , c_p , θ_0 жестко заданы точностю их экспериментального определения, то параметр a_x , как отмечалось, является подгоночным. Не исключено, однако, что первое приближение (12) для него сразу окажется достаточным в некотором диапазоне переменных. В

противном случае необходимо корректировать величину a_x . Для этой цели желательно располагать сведениями (экспериментальными или теоретическими) о каком-либо свойстве материала в максимально широком диапазоне. Наиболее естественными и доступными в настоящее время являются изотерма и ударная адиабата, известные для большого количества материалов. Взяв в качестве эталона, например, изотерму и варьируя параметр a_x в системе уравнений (14)–(16), следует добиться согласия расчетной кривой эталону. Значение a_x , при котором различие между расчетной и эталонной кривыми окажется минимальным, принимается как истинное в том диапазоне, где справедлива эталонная кривая [4].

Использование ударной адиабаты в качестве эталона требует дополнительного расчета температуры вдоль этой кривой, что осуществляется с учетом соотношения Рэнкина — Гюгонио (19). В этом случае критерием для подбора a_x , очевидно, является минимальное различие между расчетной и экспериментальной ударными адиабатами.

Во-вторых, как отмечалось в начале статьи, значения параметра a и характеристическая температура θ определяются рядом термодинамических свойств, которые вычисляются при некоторых начальных условиях. То есть параметр a (2) и функция для характеристической температуры θ (3) характеризуют лишь ту фазу вещества, в которой последнее существует при данных начальных условиях. Следовательно, формулы (1)–(18) количественно описывают поведение только данной фазы.

Наконец, заметим, что формула (1) имеет особую точку $v = av_0$. Формально она соответствует нулевому значению характеристической температуры (3). Поэтому в этой точке помимо (1) испытывают разрыв свободная энергия (4), энтропия (6) и т. д. Иными словами, при растяжении, по мере увеличения объема применение формул (1)–(18) заведомо будет давать увеличивающуюся погрешность. В связи с этим в данной работе ограничимся лишь областью сжатия $v < v_0$, где, как было показано в [1, 2], формула (1) является хорошим приближением к реальности.

ТЕРМОДИНАМИЧЕСКИЕ СВОЙСТВА АЛМАЗА ПРИ ВЫСОКОМ ДАВЛЕНИИ И ТЕМПЕРАТУРЕ

Рассчитаем в рамках рассматриваемого подхода термодинамические свойства твердо-

Таблица 1

Справочные данные для твердого алмаза при $T = 300$ К и $p = 10^{-4}$ ГПа

θ_0 , К	ρ_0 , г/см ³	c_p , Дж/(моль · К)	K_t , ГПа	β , 10 ⁻⁶ 1/К	E_m , кДж/г
1320	3,515	6,109	560,0	3,0	0,15826

Примечание. В качестве стандартного состояния углерода принят графит, в связи с чем величина E_m считается положительной.

Таблица 2

Параметры модели для твердого алмаза

a_0	q_0 , 1/К	a_x	C_1 , ГПа	C_2 , ГПа	C_3 , кДж/г	$1/v_{0,x}$, г/см ³
8,282446	$2,958 \cdot 10^{-6}$	8,282446	-27,28853	348,44318	-761,02331	3,544392

го алмаза и сопоставим результаты расчетов с имеющимися экспериментальными данными.

Необходимые для расчетов исходные данные при комнатных начальных условиях приведены в табл. 1. Они взяты из справочной литературы [7–9], значения θ_0 — из [10]. С помощью данных этой таблицы определены параметры модели для алмаза, которые представлены в табл. 2. В дальнейшем все расчеты термодинамических свойств алмаза проводили только по формулам (1)–(19) с опорой лишь на данные этих таблиц. Обсудим результаты расчетов.

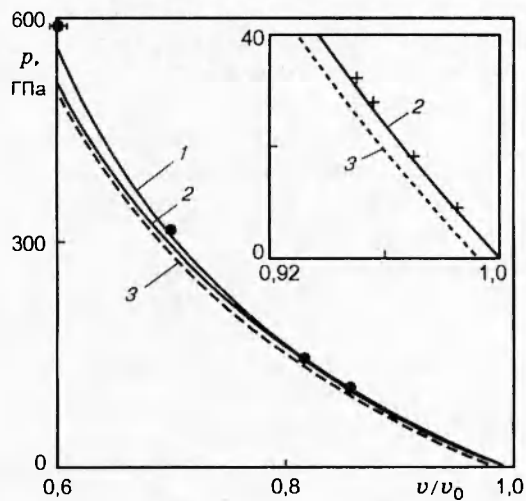


Рис. 1. Сжатие монолитного алмаза:

1 — ударная адиабата, рассчитанная с использованием (18), (19); 2 — изотерма при $T = 300$ К, рассчитанная по (14); 3 — потенциальное давление p_x , рассчитанное по (13); + — эксперимент [9] по изотермическому сжатию; • — эксперимент [11] по ударному сжатию

Для алмаза оказалось достаточным первое приближение a_x в широком диапазоне давлений. На рис. 1 показаны расчеты изотерм и ударной адиабаты монолитного алмаза. Здесь же приведены экспериментальные данные по изотермическому [9] и ударно-волновому [11] сжатию этого материала. Как видно, расчет практически совпадает с экспериментами обоих типов. Расхождение возникает лишь для ударных давлений ~ 400 ГПа.

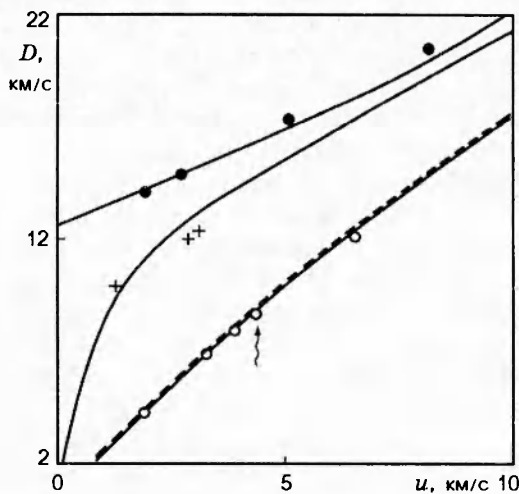


Рис. 2. Зависимость скорости ударной волны от массовой скорости для алмаза:

точки — эксперимент; • и о — монолитный и пористый ($m = 1,85$) алмаз из [11] (волнистая стрелка — начало плавления); + — пористый ($m = 1,098$) алмаз из [12]; сплошные линии — расчет без учета поверхностной энергии образца, штриховые — с учетом поверхностной энергии пористого образца ($m = 1,85$), равной $7,0$ Дж/м² [8]

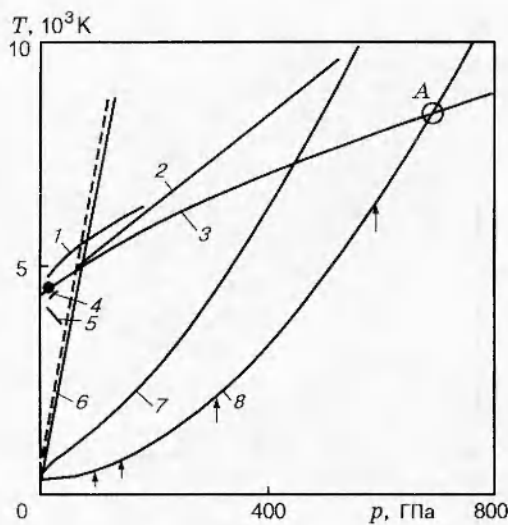


Рис. 3. Кривые плавления (1–5) и температура ударного сжатия (6–8) алмаза:

кривые плавления: 1, 5 — [14], 2 — [19], 3 — расчет линии Линнедмана по (20), 4 — [18]; 6 — пористый алмаз, $m = 1,85$, 7 — пористый алмаз, $m = 1,098$, 8 — монолитный алмаз (стрелками отмечены значения давлений из [11]); кривые 6–8 — расчет без учета поверхностей энергии образца, штриховая линия — с учетом поверхностной энергии пористого образца с пористостью $m = 1,85$

На рис. 2 показана расчетная зависимость скорости ударной волны D от массовой скорости u монолитного и пористого алмаза. Видно, что и здесь теоретический расчет удовлетворительно согласуется с экспериментом как для монолитного, так и для пористого материала в широком диапазоне переменных. Не останавливаясь подробно на соотношении расчета с экспериментом из [12] для $m = 1,098$, поскольку мало экспериментальных точек, отметим еще раз, что рассогласование с экспериментом [11] наблюдается лишь для крайних правых точек. При этом расчет с учетом поверхностей энергии пористого образца и без него практически не различаются.

Итак, наибольшее расхождение расчета и эксперимента [11] наблюдается для монолитных образцов алмаза при значениях давления 313 ГПа и особенно 596 ГПа. Эту разницу можно корректировать подгонкой параметра a_x , в результате чего согласование расчета и эксперимента улучшается. Но в данном случае такая корректировка представляется малооправданной по следующей причине.

Как хорошо известно, экстраполяция зависимости $D(u)$ к значению $u = 0$ обычно дает

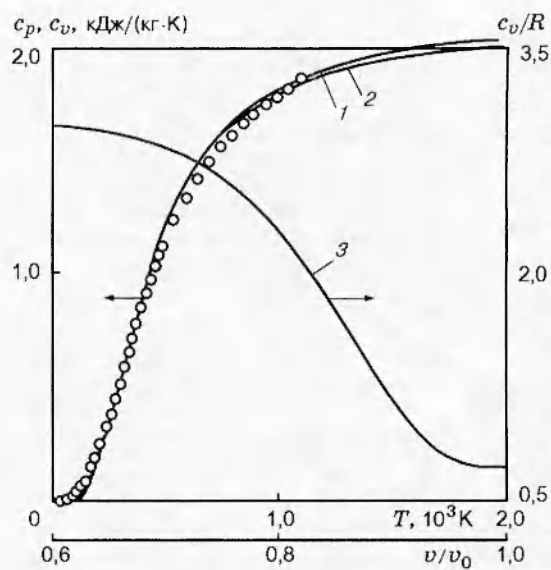


Рис. 4. Теплоемкости твердого алмаза:

1 — расчет c_p при атмосферном давлении; 2 — расчет c_v при $v = v_0$; о — экспериментальные данные из [8]; 3 — расчет приведенной теплоемкости c_v/R вдоль ударной адиабаты

значение D , близкое к объемной скорости звука. Однако в случае монолитного алмаза данные [11] не удовлетворяют этому правилу. На этот факт впервые обращено внимание в [13]. Различие между D и объемной скоростью звука объясняется в [13] тем, что максимальные значения в [11] относятся к другой фазе углерода (как предполагалось в [13] — к металлическому углероду). Очевидно возможно и иное предположение: поскольку температура ударного разогрева для этих точек заведомо высока, этой фазой может быть и алмазная жидкость. Но в любом случае ситуация такова, что крайние точки [11] относятся к другой фазе материала и, следовательно, подгонять значение a_x под эти точки, имея в виду исходную фазу алмаза, некорректно. Более того, в данной ситуации необходимо указать границы области применимости выражения (18) с константами из табл. 2 для твердого алмаза.

Оценим эту область, предполагая, что крайние точки из [11] относятся к алмазной жидкости. Для этого обратимся к рис. 3, где линиями 6–8 представлен расчет температур ударного сжатия образцов алмаза различной пористости. Как отмечалось выше, приведенные здесь расчеты характеризуют лишь ту фазу материала, в которой он существует при заданных начальных условиях, т. е. твердого

алмаза. Если же ударная адиабата пересекает границу между твердым телом и жидкостью, то после пересечения расчет значения температур на рис. 3 или какого-либо свойства следует относить к гипотетическому перегретому твердому телу, а не к реальной жидкости. Что же касается границы между твердой и жидкой фазами в координатах температура — давление, т. е. кривой плавления $T_m(p)$, то, как известно, долгое время считалось, что эта кривая для углерода имеет отрицательный наклон, как кривая 5 (см. рис. 3). Однако, начиная с работ [15, 16], возобладала противоположная точка зрения. Опираясь на результаты [15, 16] и некоторые другие данные, автор [14] предложил ориентировочную зависимость для $T_m(p)$ в виде, представленном линией 1 на рис. 3. В современных работах приводятся участки кривых плавления, которые в тройной точке имеют положительный наклон, равный $10 \div 20 \text{ К/ГПа}$. Так, наклон линии $T_m(p)$ в работах [17, 18] равен соответственно 19 и $10,4 \text{ К/ГПа}$. Зависимость $T_m(p)$ из [18] показана линией 4 на рис. 3. В [19] даны экспериментальное значение этой величины — $10,2 \text{ К/ГПа}$ — и координаты тройной точки — $p_{\text{тр}} = 13,5 \pm 0,5 \text{ ГПа}$, $T_{\text{тр}} = 4470 \pm 70 \text{ К}$. Данные работы [19] показаны точкой и прямой 2 на рис. 3. Как видно из рис. 3, совокупность результатов работ [14–19] по кривой плавления позволяет установить точку начала плавления на ударной адиабате 6 пористого алмаза из [11]: плавление наступает при $p = 74 \pm 8 \text{ ГПа}$, что соответствует расчетной температуре $5200 \pm 400 \text{ К}$. На рис. 2 это состояние отмечено волнистой стрелкой. Что же касается области более высоких давлений, достигнутых в [11] для монолитного алмаза, для данных [14–19] она оказывается слишком далекой, чтобы можно было выполнить какую-либо оправданную экстраполяцию. В этой связи логично обсудить ход кривой плавления Линдемана для алмаза.

Как известно (см., например, [20]), в эйнштейновской модели твердого тела соотношение Линдемана для температуры плавления T_m включает удельный объем v и характеристическую температуру Эйнштейна θ : $T_m = T_{m,0}(v/v_{m,0})^{2/3}(\theta/\theta_{m,0})^2$, где индекс $m,0$ соответствует величинам у начала кривой плавления. При использовании для θ соотношения (3) кривая плавления Линдемана приобретает вид

$$T_m = T_{m,0} \left(\frac{v_{m,0}}{v} \right)^{2/3} \left(\frac{(a_{m,0} - 1)(av_0 - v)}{(a - 1)(a_{m,0}v_0 - v_{m,0})} \right)^4, \quad (20)$$

где $a_{m,0} = a(T_{m,0})$. Если воспользоваться данными [19], т. е. принять $T_{m,0} = T_{\text{тр}} = 4470 \text{ К}$ и рассчитать $v_{m,0} = v(p_{\text{тр}}, T_{m,0})$, то с помощью (18) можно представить кривую плавления (20) в координатах рис. 3 — линия 3.

Из рис. 3 видно, что линия 3 практически совпадает с экспериментом [19] вблизи тройной точки, а ее форма повторяет характер кривой плавления 1. Линия Линдемана 3 пересекает ударную адиабату монолитного алмаза в точке А (688 ГПа, 8300 К). Однако с учетом результатов работы [21] эту точку следует рассматривать лишь как максимальную оценку начала плавления монолитного алмаза в ударной волне. Действительно, в [21] на примере свинца показано, что кривая плавления Линдемана дает ощутимое по сравнению с экспериментом завышение температуры плавления уже при 100 ГПа. Очевидно, что с увеличением давления кривая Линдемана может приводить к большой погрешности. В этой связи установление границы области применимости выражения (18) с константами из табл. 2 для твердого алмаза в области максимальных давлений из [11] по-прежнему затруднительно.

Таким образом, на основании рис. 1–3 можно сказать, что предлагаемый изохорно-изотермический потенциал для твердого алмаза согласуется с экспериментом по статическому и ударному сжатию по крайней мере в диа-

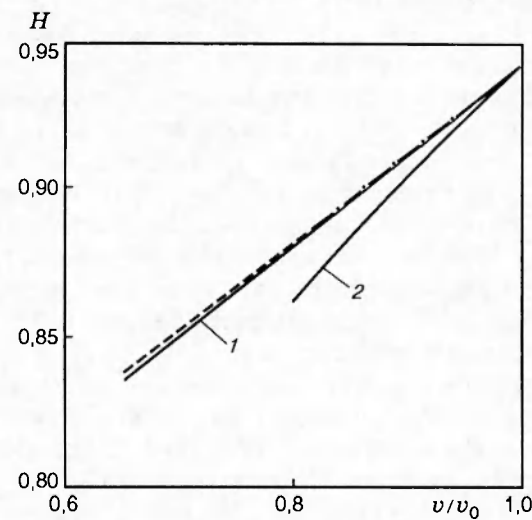


Рис. 5. Функция Грюнайзена вдоль ударных адиабат алмаза:

1 — расчет H при $M \neq 0$ для монолитного, 2 — пористого ($M = 1,85$) алмаза; штриховая и штрихпунктирная линии — то же самое в приближении $M = 0$

Таблица 3

Свойства твердого алмаза в тройной точке ($p_{tr} = 13,5 \text{ ГПа}$, $T_{tr} = 4470 \text{ К}$)

$\theta, \text{ K}$	$\rho, \text{ г/см}^3$	$\beta, 10^{-6} \text{ 1/К}$	$c_v, \text{ Дж/(моль} \cdot \text{К)}$	$c_p, \text{ Дж/(моль} \cdot \text{К)}$	$K_s, \text{ ГПа}$	$K_t, \text{ ГПа}$	$S, \text{ Дж/(моль} \cdot \text{К)}$	$W, \text{ кДж/г}$
1292,21	3,4364	12,197	24,767	26,038	574,47	546,45	55,987	-7,3262

Примечание. $W = F + pv$ — удельный изобарно-изотермический потенциал.

пазоне давлений $0 \div 74 \text{ ГПа}$ и интервале температур $300 \div 5200 \text{ К}$.

В заключение обсудим для твердого алмаза величину эффекта, связанную с введением, согласно (5), температурной составляющей характеристической температуры ($M \neq 0$). Заметим, что «переключение» формул (1)–(18) на случай $M = 0$ практически осуществляется тем, что в (2) следует считать $T = T_0$.

Очевидно, что при $M = 0$ формулы (1)–(18) представляют собой модель Эйнштейна для твердого тела в квазигармоническом приближении, где коэффициент Грюнайзена зависит лишь от объема. Соответственно произведение температуры на частную производную энтропии (6) по температуре дает эйнштейновскую теплоемкость $c_v(T)$ при постоянном объеме. Эта кривая, рассчитанная при $M = 0$, показана линией 2 на рис. 4. Соответствующие вычисления теплоемкости при постоянном давлении $c_p(T)$ показаны линией 1. Если же вычисления вести при $M \neq 0$, то расчетные зависимости $c_v(T)$, $c_p(T)$ в масштабе рис. 4 оказываются неотличимыми от соответствующих линий 1 и 2.

На рис. 4 представлена экспериментальная зависимость $c_p(T)$ для алмаза, полученная в [8]. Как видно, теория удовлетворительно согласуется с экспериментом при $T \gtrsim 200 \text{ К}$. В диапазоне низких (по сравнению с θ_0) температур, как и следовало ожидать при использовании приближения Эйнштейна, теоретическая зависимость $c_p(T)$ предсказывает слишком быстро уменьшение теплоемкости.

Таким образом, предложенная схема дает удовлетворительные результаты по теплоемкости алмаза в диапазоне $T \approx 200 \div 1200 \text{ К}$, причем роль функции M здесь невелика.

Вклад функции M становится заметным лишь при более высоких температурах. Так, на рис. 5 показан расчет функции Грюнайзена $H(v, T)$ (9) вдоль ударных адиабат при условии $M \neq 0$ и в приближении $M = 0$. Следует отметить, что и здесь для алмаза эффект неве-

лик — около 3 %. В соответствии с этим расчет температур ударного сжатия алмаза, представленный на рис. 3, мало чувствителен к условию $M \neq 0$. Так, в масштабе рис. 3 зависимости $T(p)$ вдоль ударных адиабат при $M = 0$ и $M \neq 0$ не различаются.

Отметим, что незначительное влияние температурной поправки для алмаза, связанное с коэффициентом M , определяется параметром q_0 и обусловлено его малым значением для алмаза (см. табл. 2). Для других материалов это условие может не выполняться.

Наконец, рассчитаем ряд термодинамических свойств твердого алмаза в тройной точке, которая согласно [19] определяется давлением $p_{tr} = 13,5 \text{ ГПа}$ и температурой $T_{tr} = 4470 \text{ К}$. Эти свойства приведены в табл. 3.

ЗАКЛЮЧЕНИЕ

В работе получено явное выражение для изохорно-изотермического потенциала (свободной энергии), которое позволяет достоверно рассчитывать термодинамические свойства твердого алмаза в диапазоне давлений от нуля до десятков гигапаскалей и диапазоне температур от комнатной до 5000 К.

ЛИТЕРАТУРА

- Молодец А. М. Обобщенная функция Грюнайзена для конденсированных сред // Физика горения и взрыва. 1995. Т. 31, № 5. С. 132–133.
- Молодец А. М. Функция Грюнайзена и нульевая изотерма трех металлов до давлений 10 ГПа // ЖЭТФ. 1995. Т. 107, вып. 3. С. 824–831.
- Молодец А. М., Молодец М. А. Температурная зависимость функции Грюнайзена химических элементов // Хим. физика. 1997. Т. 16, № 5. С. 122–126.
- Молодец А. М. Уравнение состояния твердых химических элементов // Докл. РАН. 1997. Т. 353, № 5. С. 610–612.

5. Молодец М. А., Молодец А. М., Набатов С. С. Объемно-температурная зависимость коэффициента Грюнайзена // Химическая физика процессов горения и взрыва: XI Симпоз. по горению и взрыву. Черноголовка, 1996. Т. 1, ч. 2. С. 335–337.
6. Молодец А. М. Изохорно-изотермический потенциал и термодинамика ударного сжатия твердых тел // Там же. С. 333–335.
7. Физические величины / А. П. Бабичев, Н. А. Бабушкина, А. М. Братковский и др. М.: Энергоаомиздат, 1991.
8. Физические свойства алмаза: Справочник / Н. В. Новиков, Ю. А. Кочергинский, Л. А. Шульман и др. Киев: Наук. думка, 1987.
9. Drickamer H. G., Lynch R. W., Clendenen R. L., Perez-Albuerne F. A. X-ray diffraction studies of the lattice parameters of solids under very high pressure // Solid State Phys. 1966. V. 19. P. 135–228.
10. Einstein A. Die Plancksche Theorie der Strahlung und die Theorie der spezifischen Wärme // Ann. der Physik. 1907. Bd 22. S. 180.
11. Павловский М. Н. Ударное сжатие алмаза // Физика твердого тела. 1971. Т. 13, вып. 3. С. 893–895.
12. McQueen R. G., Marsh S. P. Hugoniots of graphites of various initial densities and the equation of state of carbon // IVTAM Symp.: Behavior of dense media under high dynamic pressures. Paris'67. New York: Gordon and Breach, 1968. P. 234.
13. Grover R. Does diamond melt? // J. Chem. Phys. 1979. V. 71, N 9. P. 3824–3829.
14. Bundy F. P. Pressure-temperature phase diagram of elemental carbon // Physica A. 1989. V. 156. P. 169–178.
15. Snaner J. W., Brown J. M., Swenson C. A., McQueen R. G. Sound velocity of carbon at high pressures // J. de Physique. 1984. Т. 45, N 11. C8. P. 235–237.
16. Weathers M. S., Bassett W.A. Melting of carbon at 50 to 300 kbar // Phys. Chem. Minerals. 1987. V. 15, N 2. P. 105–112.
17. van Thiel M., Ree F. H. Lindemann melting low anisentropic crystals: graphite → liquid carbon // Shock Compression of Condensed Matter-1991 / S. C. Schmidt, R. D. Dick, J. W. Forbes, D. G. Tasker (Eds). Amsterdam: Elsevier Sci. Publ. B. V., 1992. P. 165–168.
18. Averin A. B., Dremov V. V., Samarin S. I., Sapozhnikov A. T. Equation of state and phase diagram of carbon // Shock Compression of Condensed Matter-1995 / S. C. Schmidt, W. C. Tao (Eds). 1996. Pt 1. P. 65–68.
19. Togaya M. Thermophysical properties of carbon at high pressure // Advanced Materials'96: Proc. of the 3rd NIRIM Intern. Symp. on Advanced Materials (ISAM'96) Tsukuba, Japan, March 4–8. 1996. P. 251–256.
20. Жарков В. Н., Калинин В. А. Уравнения состояния твердых тел при высоких давлениях и температурах. М.: Наука, 1968.
21. Godwal B. K., Meade Ch., Jeanloz R., et. al. Ultrahigh-pressure melting of lead: a multidisciplinary study // Science. 1990. V. 248. P. 462–465.

Поступила в редакцию 14/VII 1997 г.